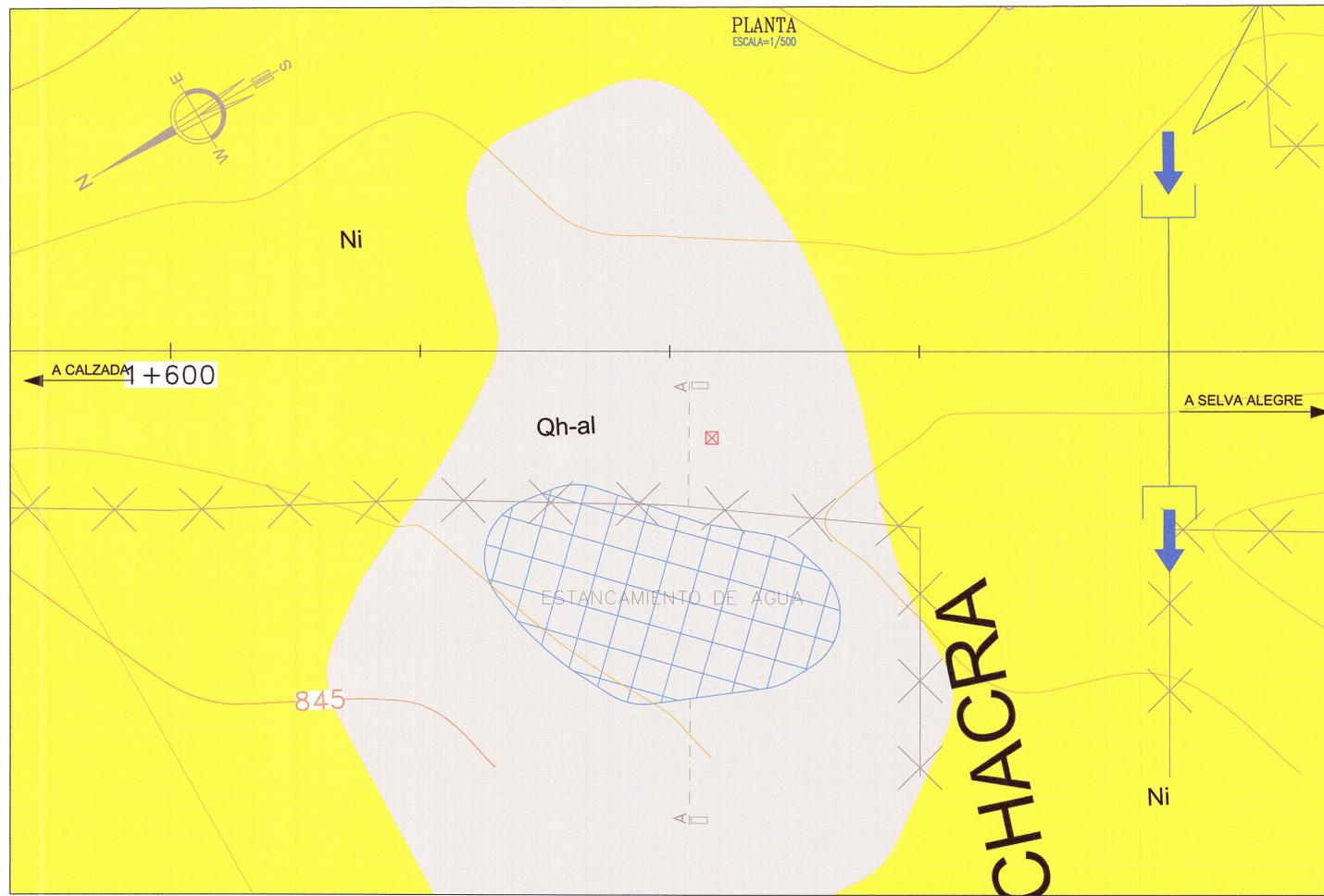




ESTANCAMIENTO DE AGUA EN EPOCA DE ESTIAJE



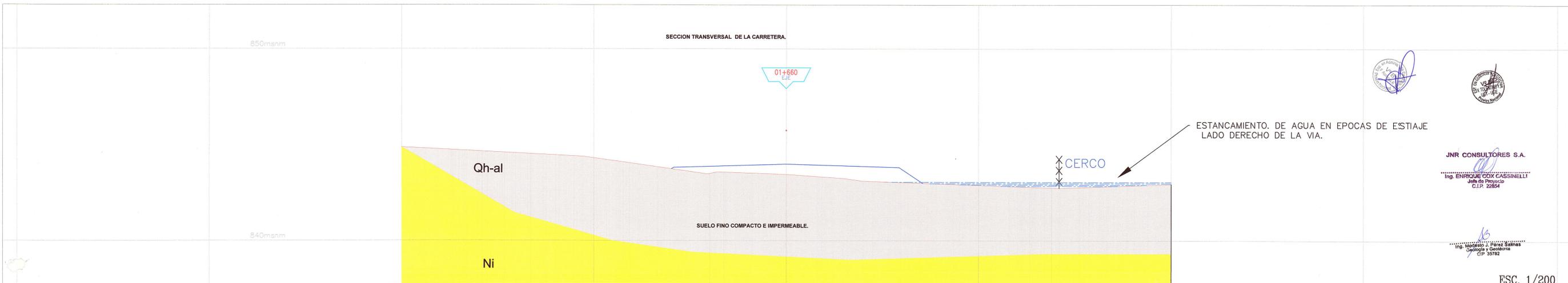
CUADRO ESTRATIGRAFICO						
ERATEMA	SISTEMA	SERIE	UNIDADES LITOSTRATIGRAFICAS			
CUATERNARIO	HOLOCENO	DEPOSITOS FLUVIALES	Qh-fl			
			DEPOSITOS ALUVIALES	Qh-al		
			DEPOSITOS COLUVIALES	Qh-co		
		PLEISTOCENO	DEPOSITOS ALUVIALES ANTIGUO	Qh-al		
CENOZOICA	NEOGENO	PLIOCENO	Grupo Ipururo	N-i		
			MIOCENO			
PALEOGENO	OLIGOCENO	Grupo Huayabamba	Fm. Chambira	KS-hu	PN-hu3	
			EOCENO			P-hu2
			PALEOCENICO	Fm. Yahuarango		KsP-hu1

SIMBOLOGIA			
	BOFEDAL		CALICATA
	ESTANCAMIENTO AGUA		DESLIZAMIENTO
	PUENTES Y PONTONES		ZONA DE DERRUMBE
	EJE DE CARRETERA		CAIDA DE ROCAS
	CURVAS MAYORES		ASENTAMIENTO
	CURVAS MENORES		RUMBO Y BUZAMIENTO SUAVE (0° - 30°)
	QUEBRADAS		CONTACTO GEOLOGICO
	FALLA INFERIDA		EJE DE SINCLINAL
	RIO		EJE DE ANTICLINAL
	CANTERA		FALLA NORMAL
	AGUAJAL		FALLA INVERSA

DISEÑO DE SUBDREN

RESUMEN DE LA ZONAS INESTABLES							
Nº	EVALUACION GEODINAMICA ZONAS INESTABLES	PROGRESIVA		LADO	LONGITUD	RIESGO	SOLUCION GEOTECNICA
		INICIAL	FINAL				
1	Estancamiento de Agua	1+640	1+660	Der.	20.00	Moderado	Diseño e instalación de alcantarilla de demasia, que evacua el estancamiento en su maximo embalse

RESUMEN DE ENSAYOS DE LABORATORIO DE ZONAS INESTABLES (Calicatas).																			
Nº	EVENTO GEODINAMICO	PROGRESIVA		LADO	SUELOS				ENSAYOS ESTANDARES				CORTE DIRECTO		ENSAYOS QUIMICOS				
		INICIAL	FINAL		SUCS	AASHTO	L.L.	L.P.	I.P.	CONT. HUMEDAD (%)	P.E. (Part.solidas)	METOD. "A" TAMIZ 200 (%)	PESO UNITARIO (g/cm3)	COHESION (kPa)	ANG. FRICC. (Ø)	PH(mg/K g)	SALES SOLUBLES (mg/kg)	CLORUROS (Mg/kg)	SULFATOS (Mg/kg)
1	Estancamiento de agua	1+640	1+660	Der.	ML	A-4 (0)	29	N.P.	N.P.	14.1	2.715	81	1.223	0.3	28.4	4.48	84	12	29



JNR CONSULTORES S.A.  
 Ing. ENRIQUE COX CASSINELLI  
 Jefe de Proyecto  
 C.I.R. 22854

Ing. Mónica J. Pérez Salinas  
 Geóloga y Geodesta  
 C.I.P. 35192

ESC. 1/200